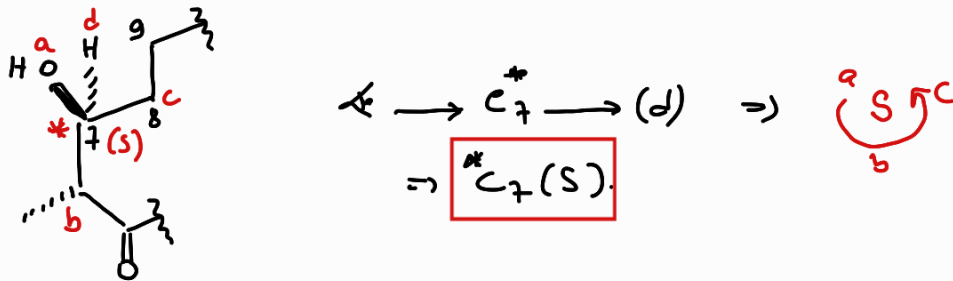


## PROBLÈME I - Synthèse de l'épithilone A

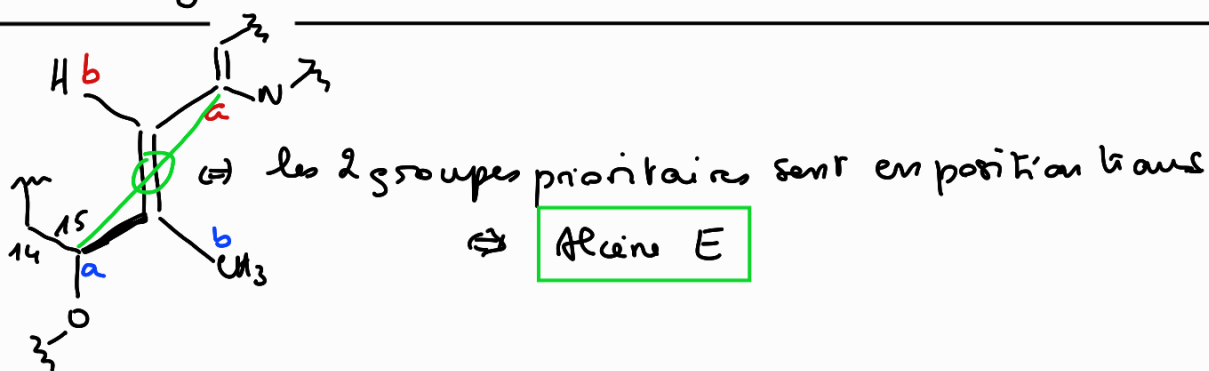
**Q1** familles fonctionnelles :

1. Epoxyde
2. Alcool
3. Cétone
4. Ester
5. Alcène

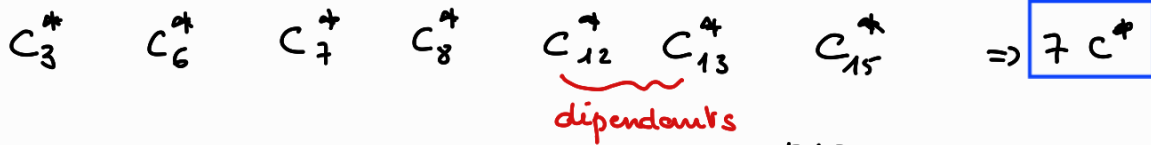
**Q2**



**Q3**



**Q4**



Nombre maximum de stéréoisomères :  $2^{n+a}$  où  $n = \text{nbe de } C^*$   
 $a = \text{nbe d'alcènes}$   
 $\text{Z ou E}$

$$N_{\max} = 2^{7+1} = 2^8$$

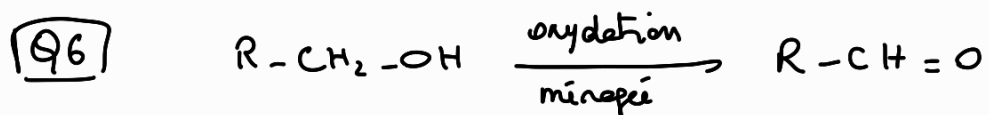
Mais les  $C_{12}^*$  et  $C_{13}^*$  sont dépendants l'un de l'autre :



seules options possibles

$$\Rightarrow N = \frac{2^8}{2} = 2^7 \text{ stéréoisomères}$$

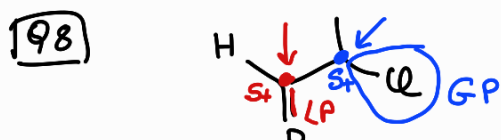
Q5 di AlHu réducteur des esters en alcool primaire.



L'oxydation mineure évite l'oxydation de l'aldéhyde en acide carboxylique

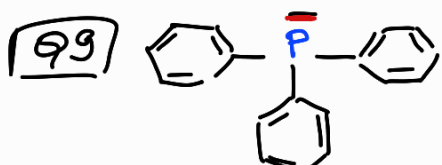
Q7  $1675 \text{ cm}^{-1}$  :  $C=O$  conjugué avec  $C=C$

$1626 \text{ cm}^{-1}$  :  $C=C$  conjugué avec  $C=O$



$C^\bullet$  électrophile car légèrement déficitaire en électrons pour effet mésomise attractive du O et la liaison  $Ti$  est "portante" (LP).

$C^\bullet$  électrophile car légèrement déficitaire en e- pour effet inductif attractif.  
- lien de Cl + électronegativité de C, et  $|\overline{Cl}|^\ominus$  est un bon groupe portant (GP)



$A X_3 E$  équivalent de  $AX_4$



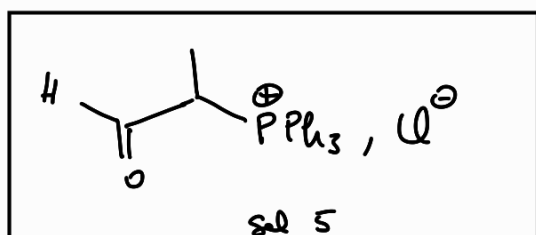
éloigné de E :



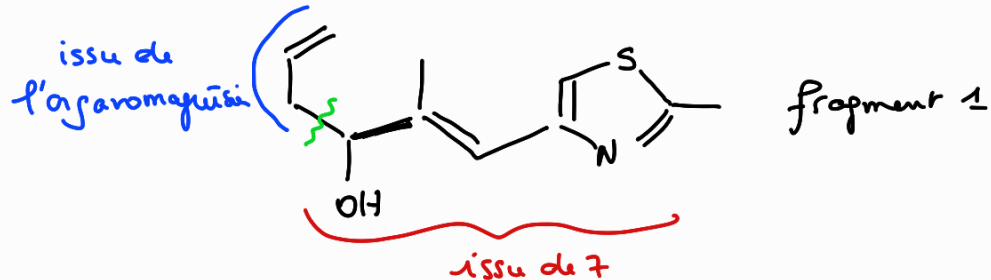
pyramide à base triangulaire.

Le doublet libre rend le Phosphore nucioophile

Q10

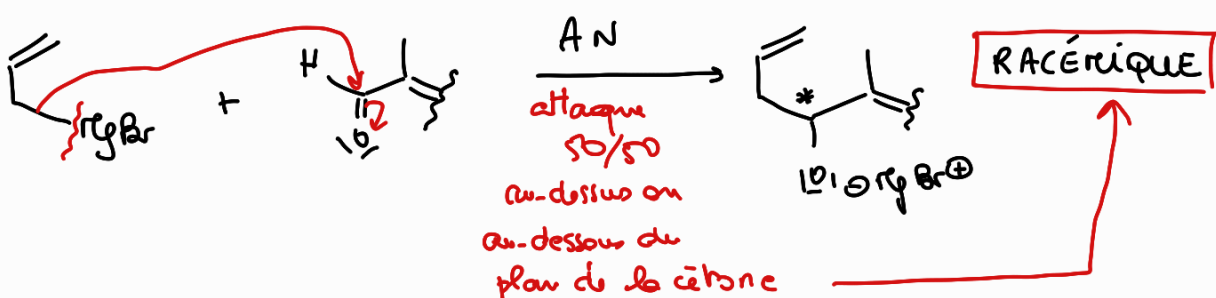


Q11



donc est l'organomagnésien.

Q12

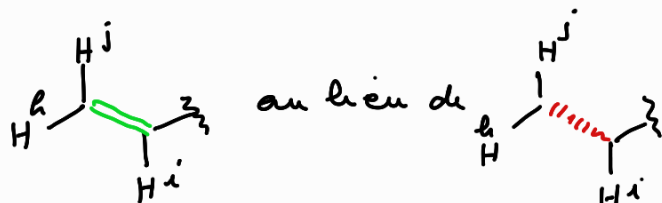


$\Rightarrow$  le mélange est a priori optiquement INACTIF. puisqu'asymétrique.

Q13

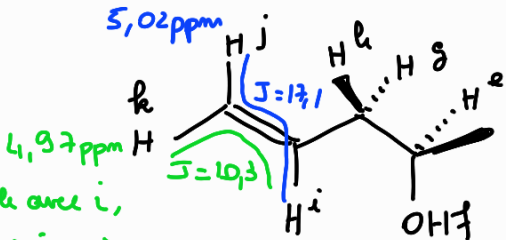
9,57 ppm :  $H^e$  de l'aldéhyde qui disparaît (déblindé par  $C=O$ )

Erreur dans Fragment I : n'apparaît pas dans le sujet PC ...



couple avec i, en position trans  $\Rightarrow 17,1 \text{ Hz}$

5,02 ppm

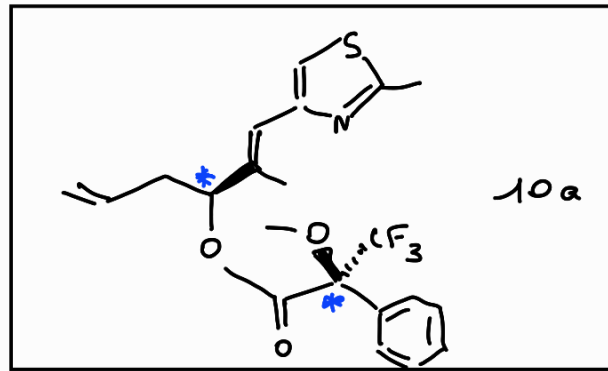
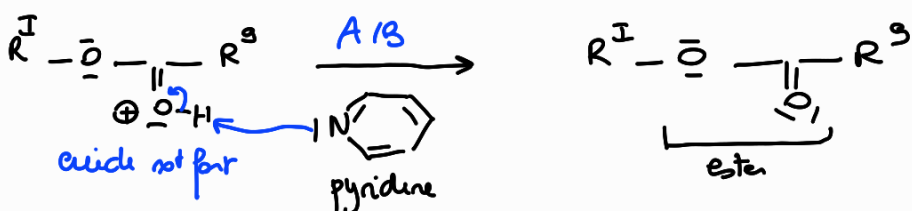
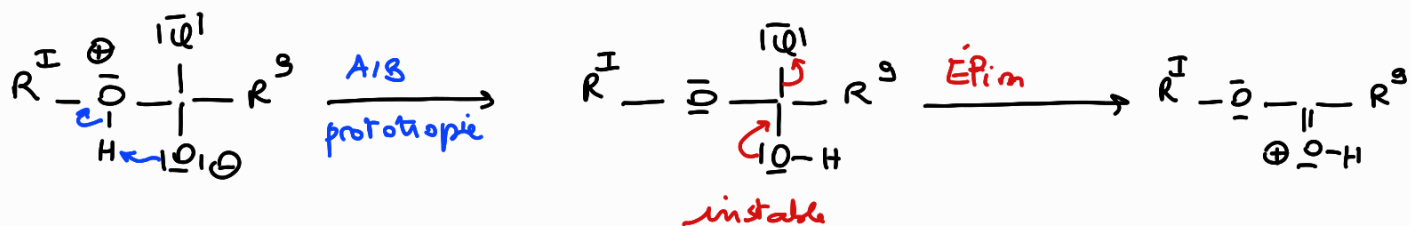
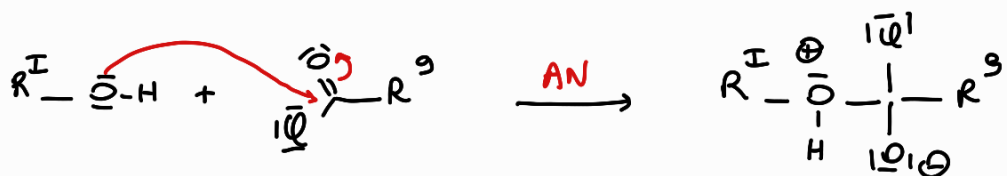


Couple avec i,  
en position cis  
 $\Rightarrow 10,3 \text{ Hz}$ .

multiplié 5,58 - 579 car couple i, h, l et g ( $3J \neq a$  priori).  
déblindé par la  
double liaison

Remarque : j et k couplent entre eux aussi, mais J est mentionné comme "très faible", soit "invisible".

Q14

Estéification =>Mécanismele fragment I sera noté  $\bar{R}-\bar{\text{O}}\text{H}$ le composé g :  $\text{R}^g-\overset{\text{O}}{\underset{\text{Q}}{\text{C}}} \quad \left. \begin{array}{l} \text{R}^I-\overset{\oplus}{\underset{\text{O}}{\text{C}}}-\overset{\text{Q}}{\underset{\text{H}}{\text{C}}}-\text{R}^g \\ \text{H}-\text{O}-\text{Q}^- \end{array} \right\}$ } mécanisme AN+E  
sans catalyse

Q15

10a et 10b sont DIASTÉRÉOISOMÈRES

?

Des diastéréoisomères ont des propriétés physiques différentes =>  
les  $\Delta H^\circ$  de 2 diastéréoisomères pourraient avoir des déplacements et constantes de complexe  $\neq$ ? Hors programme

Q16

dei du Prior

$$\alpha = \sum_i [\alpha]_D^{22} \cdot [i] \cdot l$$

$$\Rightarrow -20,2 = \underbrace{[\alpha]_D^{22} \times 0,985 \times 1}_{\substack{98,5\% \\ \text{de I}}} \quad \underbrace{- [\alpha]_D^{22} \times 0,015 \times 1}_{\substack{1,5\% \text{ de} \\ \text{actinoptique}}} \Big] \times 1 \cdot \frac{1}{dm}$$

$$\Rightarrow [\alpha]_D^{22} = \frac{-20,2}{0,985 - 0,015} = -20,85^\circ \cdot g^{-1} \cdot dm^{-1} \cdot cm^3$$

**Q17** 1) Un aldéhyde est plus électrophile qu'une cétone par effet inductif donné des groupes allyl, moindre chez l'aldéhyde.

2) Les composés borés sont sensibles à l'encombrement stérique (exemple de l'hydroboration), et un aldéhyde est moins encombré qu'une cétone.

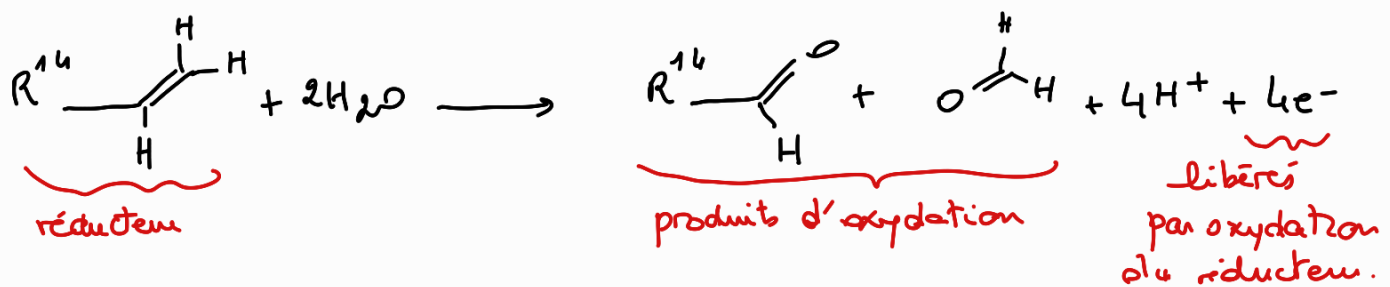
⇒ Aldéhyde + électrophile mis à vis de l'allylborane.

**Q18** "Coupure oxydante" sous-entend l'emploi d'un oxydant auquel est sensible un alcool

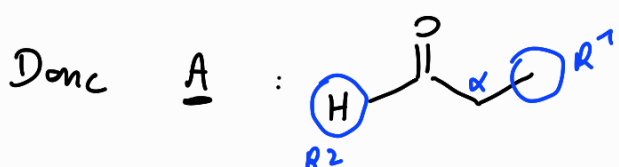
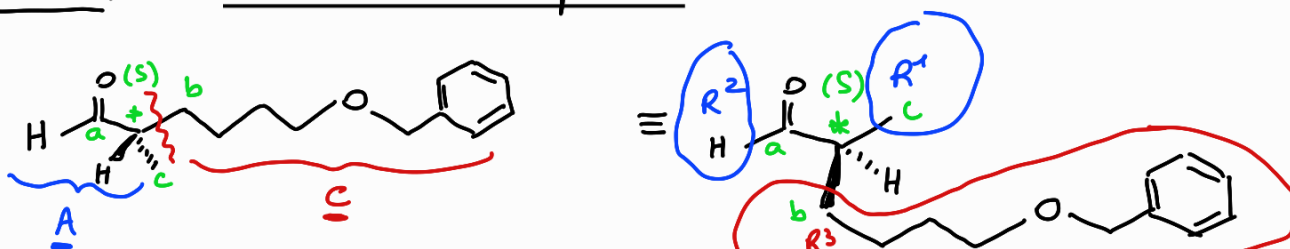
⇒ Protection de l'alcool par silylation, contre l'oxydation

**Q19** Notons  $\underline{14}$  :  $R^{14}\text{C=H}$

Rappel : Une oxydation correspond au sens :  $\text{red} \rightarrow \text{oxy} + \text{re}^-$

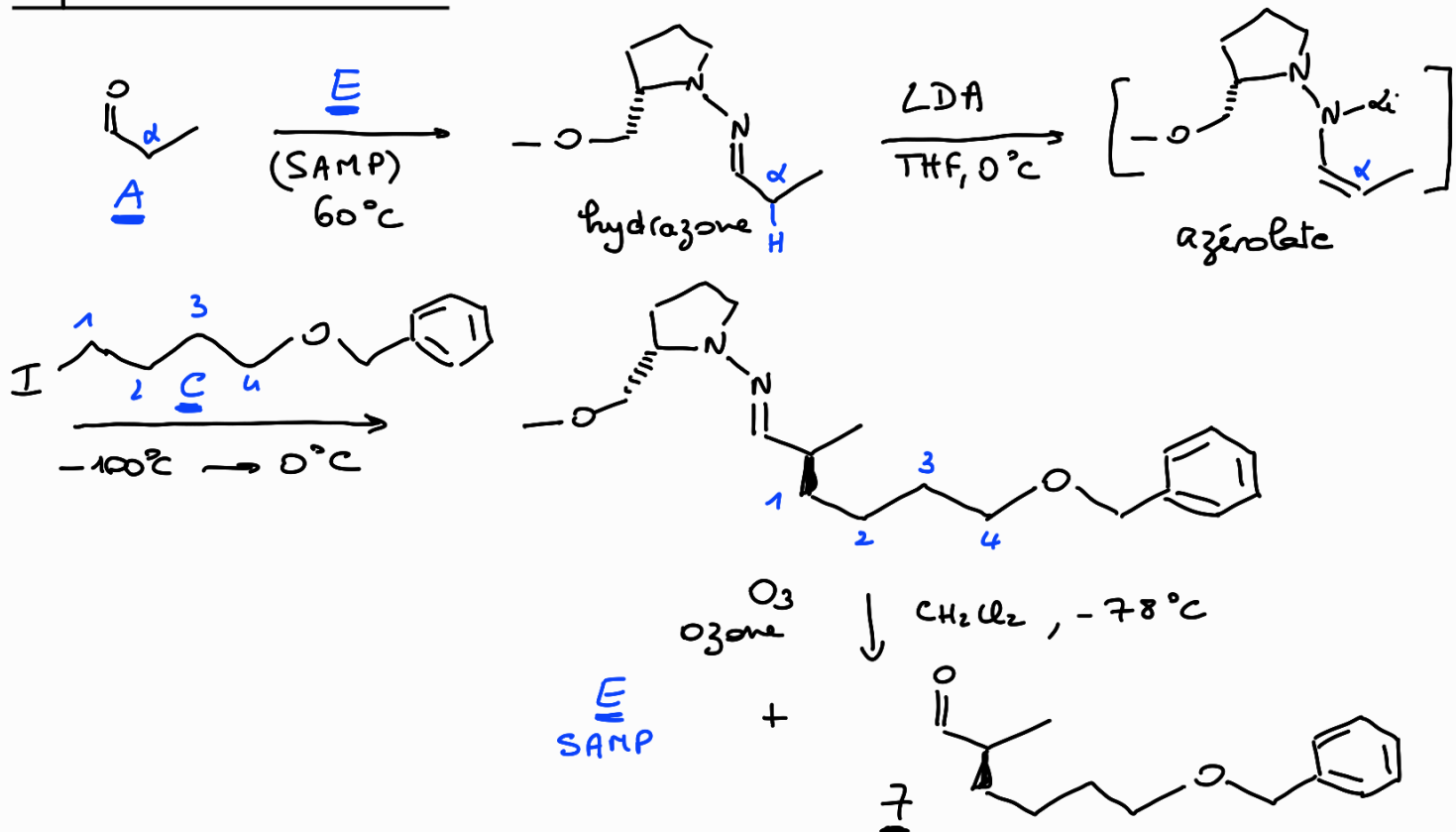


**Q20** ANALYSE des produits :

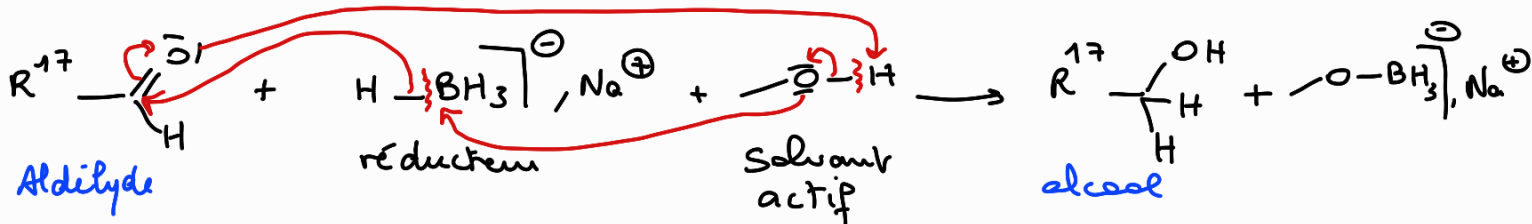


⇒ Chéia des réactifs :  $\underline{A}$ ,  $\underline{C}$  et  $\underline{\Sigma}$  = SAMP

## Séquence réactionnelle :

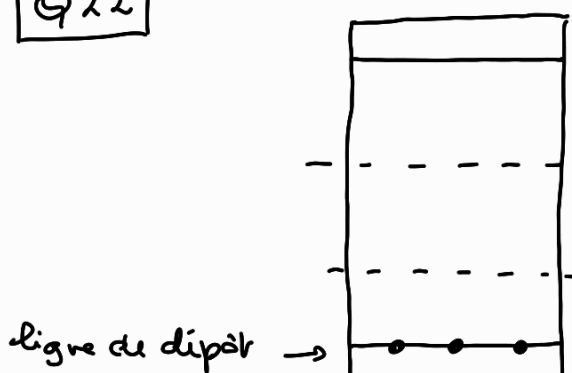


**Q21** Notions 17 :  $\text{H}_2\text{R}^{17}$



Mécanisme concrète.

**Q22**



Front du "solvant" (éluant, mobile).

- Toute tache à ce niveau = composé 17

- toute tache à ce niveau = produit 18

Ligne du dipôle →

L'éluant choisi est APOLAIRE APROTIQUE : compatible avec les interactions faibles du type Van der Waals possible avec 17, ne comportant que les fonctions aldehyde + éther => peu polaire, aprotique.  
17 est relativement bien entraîné par l'éluant => R<sub>f</sub> max.  
 peu fixé par le siège polaire et protonique (Si-OH).

18 comporte une fonction Alcool  $\Rightarrow$  liaisons H avec le silice  $\Rightarrow$  plus retenue par la phase fixe silice grâce aux liaisons H  $\Rightarrow R_f \text{ min.}$

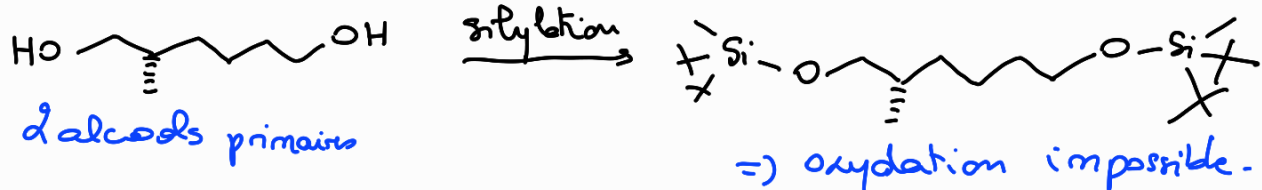
Q23 La réaction est totale au bout de 15 min, date de la disparition de la tache au  $R_f$  max, caractéristique du réactif 1<sup>er</sup>.

Q26 1<sup>o</sup>) Silylation

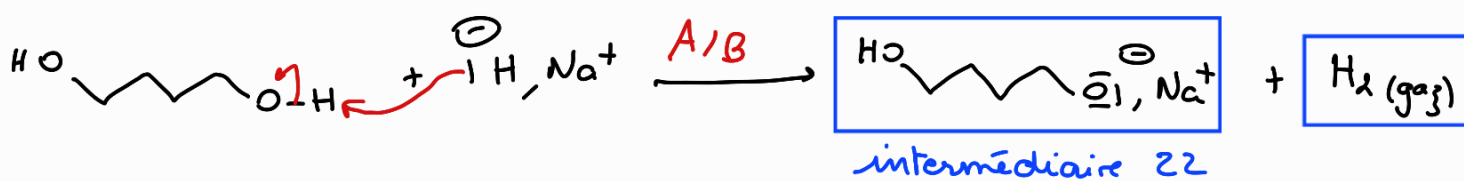
## 2°) Debenzylation

Les déprotections sont spécifiques  $\Rightarrow$  déprotéger l'éther du benzyle laisse l'éther de silyle intact.

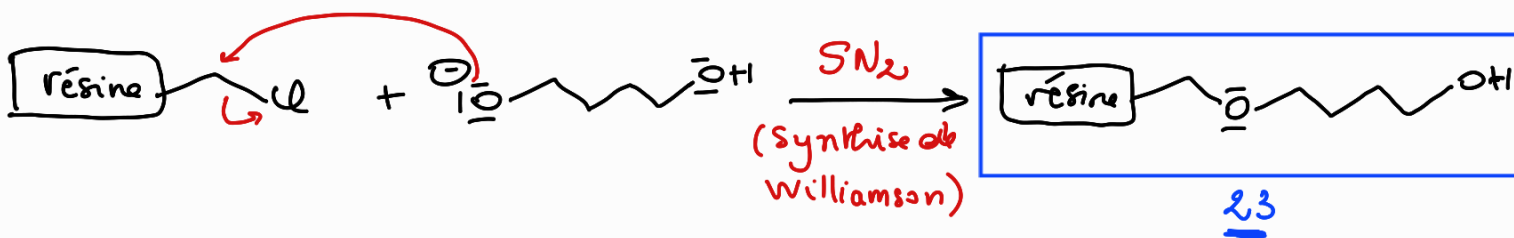
Si on procérait d'abord à la débenzylation on obtiendrait:



Q25



Q26

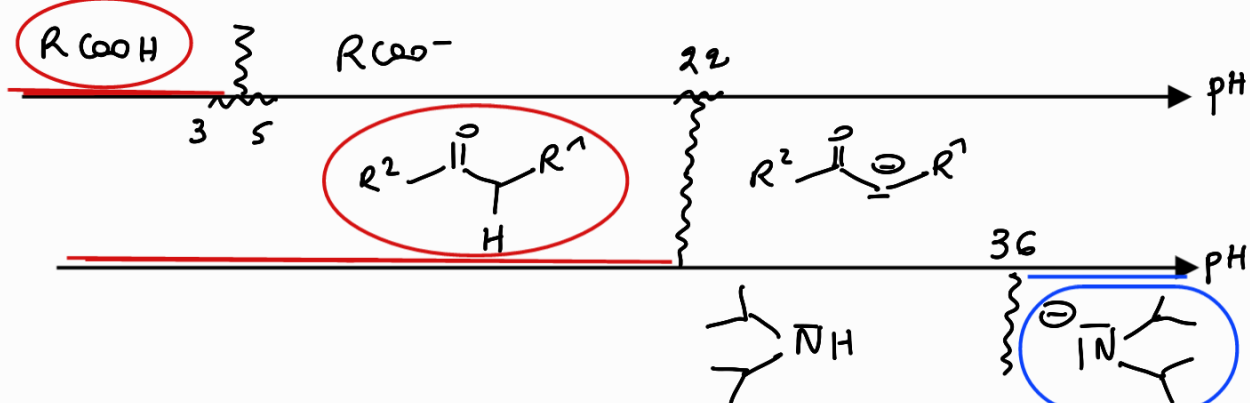


**1927** - OH est un mauvais groupe partant - d'action directe de  
I- sur 23 soit improductive, cinétiquement.

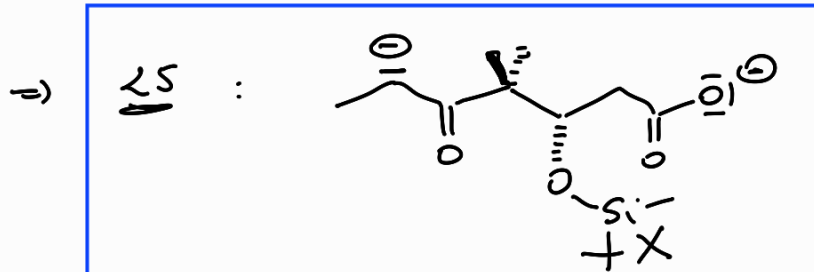
$\Rightarrow$  TSO ACTIVE le groupe portant - OH  $\longrightarrow$  - OTs

$\Rightarrow$  la  $\text{SN}_2$  par  $\text{I}^-$  (excellent nucléophile) est rapide.

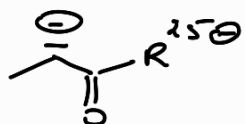
Q28 le fragment II perte une fonction Acide carbonique ( $\text{COOH}$ ), acide + fait que le H en  $\alpha$  de la cétone :



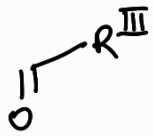
Les  $pK_A$  fournis montrent que le RP A/B prioritaire se produit avec l'acide carbonique d'abord, puis avec le H en  $\alpha$  de la cétone.



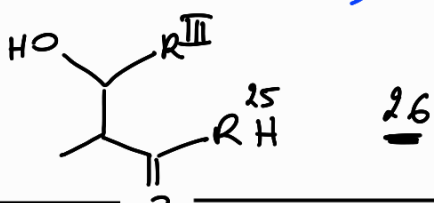
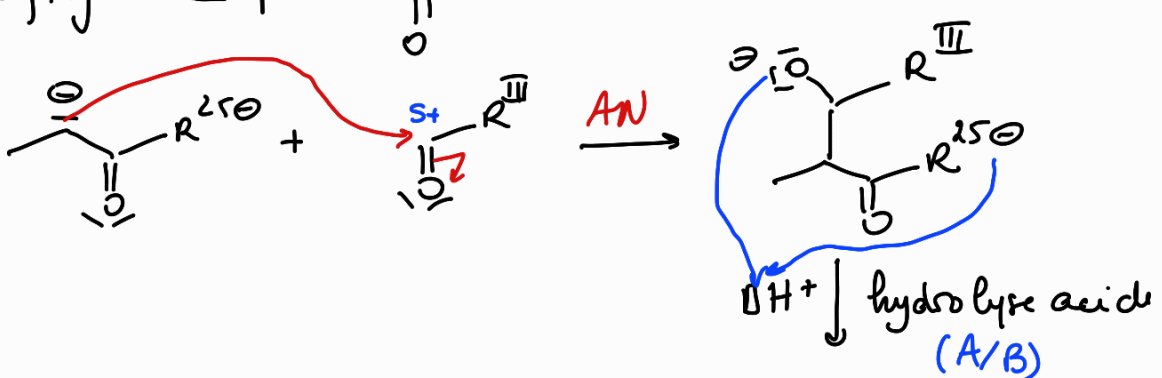
Q29 Représentions  $\underline{25}$  par



et le Fragment III par



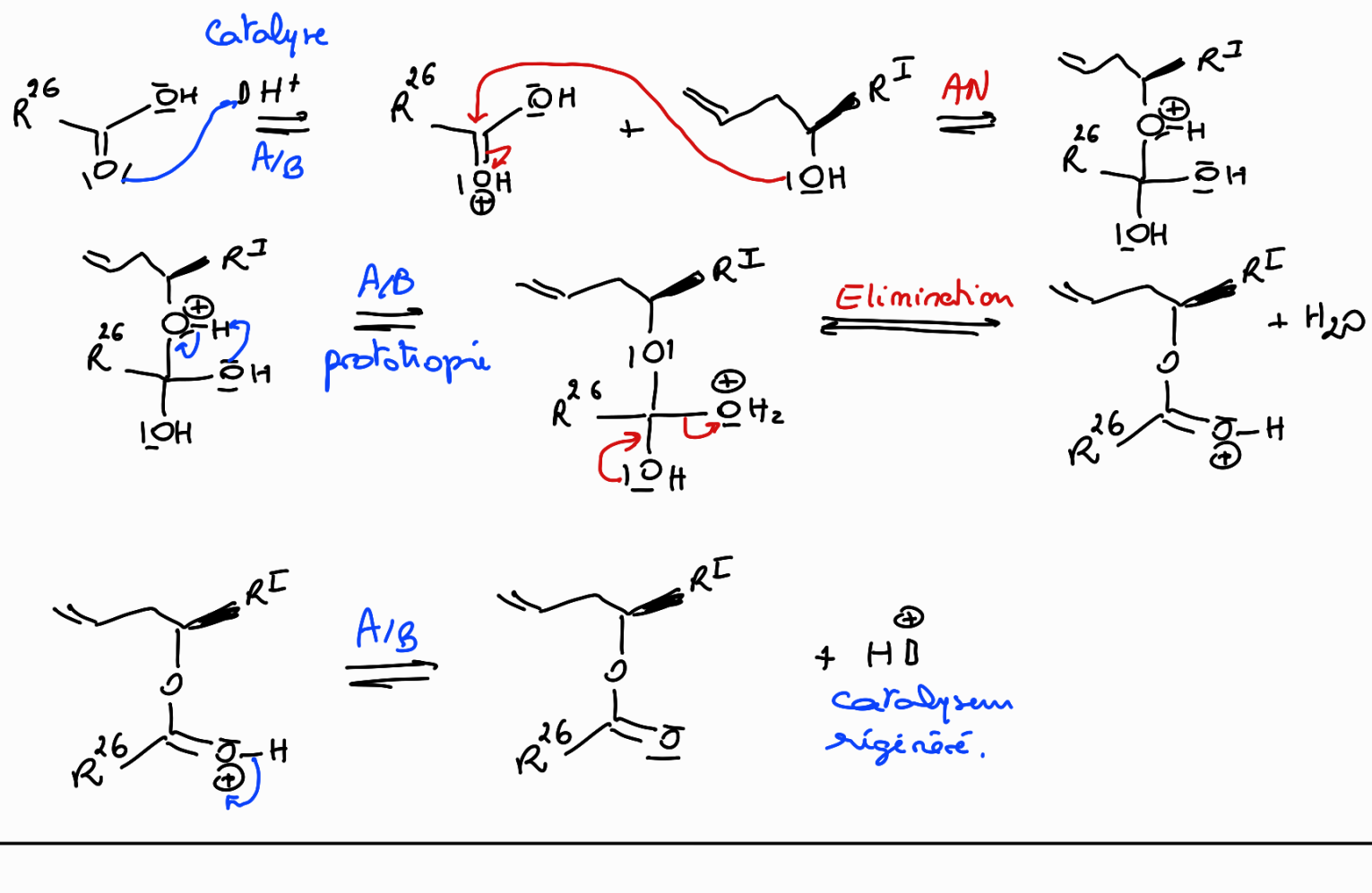
Mécanisme :



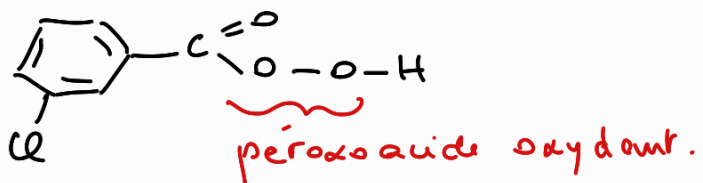
Q30 Une inversion des Q b et c aurait été + judiciale  $\Rightarrow$  écriture du mécanisme en milieu acide.

(b)  $\rightarrow$  On supposera que la réaction procède en CATALYSE ACIDE, dans un appareil de Dean Stark, en présence de toluène, pour une élimination hétéroasymétrique de l'eau perdue  $\Rightarrow$  déplacement d'éq.

Q36 → Notons 26 :  $\text{R}^{26}-\text{CH(OH)}-\text{CH}_2-\text{C}(=\text{O})-\text{R}^I$  et le fragment I :  $\text{--CH}_2-\text{C}(=\text{O})-\text{R}^I$

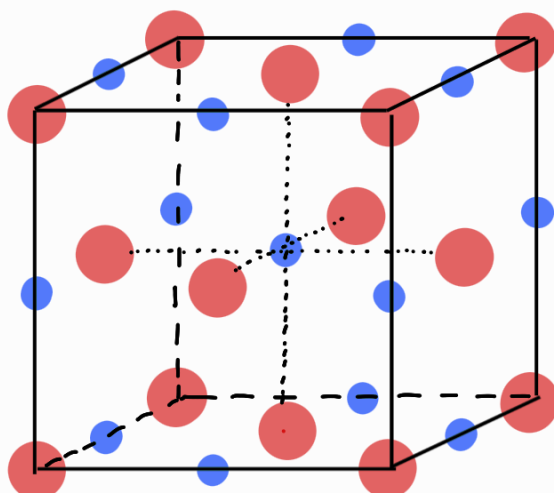


[Q31] On propose le MCPBA en présence de  $\text{HO}_2^-$ :



PROBLÈME II : le cyanure de potassium

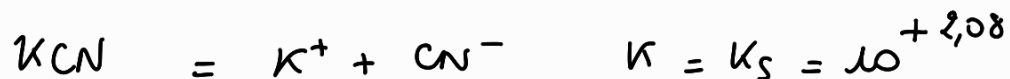
Q32



$\text{CN}^-$  en CFC  
 $\text{K}^+$  en site octaédrique.

Q33

Données :  $pK_S(\text{KCN}) = -2,08$



EI excès

EF excès

$s$

À l'équilibre  $K = Q$

$$( \Rightarrow ) \quad K_S = s^2 = 10^{+2,08}$$

$$( \Rightarrow ) \quad s = 10^{+1,04} \text{ mol.l}^{-1}$$

$$( \Rightarrow ) \quad s = 11,0 \text{ mol.l}^{-1}$$

Cette valeur est cohérente : KCN est un sel (ie très soluble dans l'eau).

Q33

En milieu acide,  $\text{CN}^-$  est consommé par



de sorte que la solubilité augmente en milieu acide.

En milieu basique, aucun ( $R$ ) ne peut se produire, la solubilité reste constante ( $= 11 \text{ mol.l}^{-1}$ ).

Q34

Les ORI  $\psi_1, \psi_2, \psi_5^N$ , et  $\psi_8^*$  sont de type  $T_3$ .  
(issues de  $s_C, s_N, p_{3C}, p_{3N}$ )

Les ORI  $\psi_3$  et  $\psi_6^*$  sont de type  $T_{12}$  (issues de  $p_{2C}$  et  $p_{2N}$ )

Les ORI  $\psi_4$  et  $\psi_7^*$  sont de type  $T_{1g}$  (issues de  $p_{3C}$  et  $p_{3N}$ ).

// aucun exposant n'mentionne Liant.

N mentionne Non liant (a priori, car le sujet donne peu d'info)

# mentionne Anti liant

$\Rightarrow$	OM isodensité	a	b	c	d	e	f
	ORF énergie	$\psi_6^*$	$\psi_4$	$\psi_1$	$\psi_7^*$	$\psi_8^*$	$\psi_3$
		Anti liant	liant	liant	Anti liant	anti liant	liant.

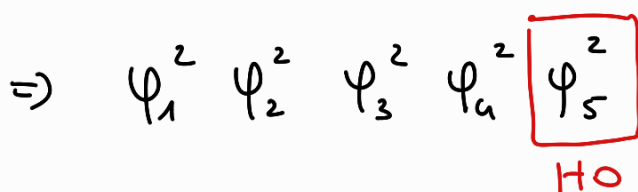
Q35

C : 6 e<sup>-</sup> de valence

N : 5 e<sup>-</sup> de valence

$$\Rightarrow CN^{\ominus} : 6 + 5 + \frac{1}{9} = 10 e^{-} \text{ de valence.}$$

charge  $\Theta$



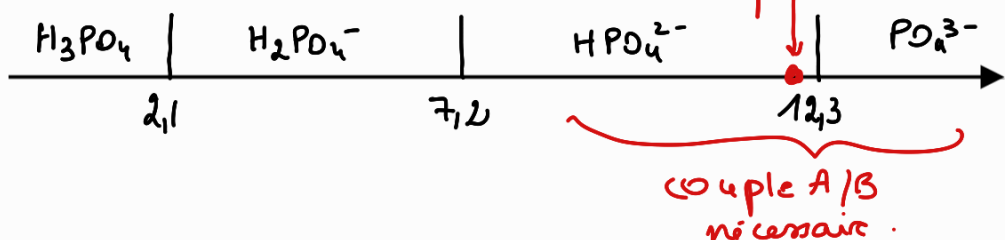
les électrons étant appariés et remplissant le ORF par ordre d'énergie croissante.

Q36

- Une solution tampon est une solution mélange, concentré, d'un acide faible et de sa base conjuguée, en proportions proches.
- Propriété: le pH d'une solution tampon reste constante par addition d'une quantité raisonnable d'acide fort ou de base forte, ou par dilution.

Q37

Données :



$$\text{On souhaite } \text{pH} = 12 = pK_A + \log \frac{[PO_4^{3-}]}{[HPO_4^{2-}]}$$

$$\Rightarrow 12 = 12,3 + \log \frac{x}{1-x}$$

où  $x$  est le mbe de molles  
de  $\text{Na}_3\text{PO}_4(s)$  à dissoudre  
dans 1 L.

$$\Rightarrow \frac{x}{1-x} = 10^{-0,3}$$

et  $1-x$  le mbe de molles  
de  $\text{Na}_2\text{HPO}_4(s)$  à dissoudre  
dans 1 L.

$$\Rightarrow x = \frac{10^{-0,3}}{1 + 10^{-0,3}}$$

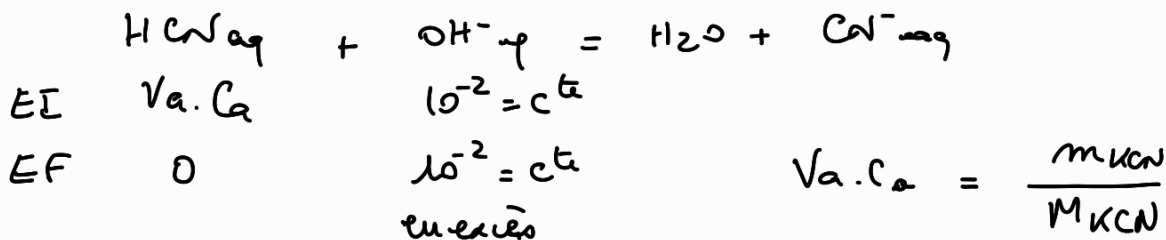
$$\Rightarrow x = 0,334 \text{ mol de } \text{Na}_3\text{PO}_4(s)$$

$$\Rightarrow y = 0,666 \text{ mol de } \text{Na}_2\text{HPO}_4(s)$$

### Mode opératoire :

- Pesez  $0,334 \times (3 \times 23 + 31 + 4 \times 16) = 54,776 \text{ g de Na}_3\text{PO}_4$  || balance de précision
- Pesez  $0,666 \times (2 \times 23 + 31 + 4 \times 16 + 1) = 94,572 \text{ g de Na}_2\text{HPO}_4$  || précision
- Introduire les 2 solides dans une fiole jaugeée de 1 L
- Compléter la fiole aux  $2/3$  d'eau distillée - Agiter jusqu'à dissolution totale - Retirer le bâtonnet emmante-
- Compléter la fiole avec de l'eau distillée jusqu'au trait de jauge

**Q38**



$$\Rightarrow \boxed{V_a = \frac{1000}{1,75(39,1 + 12 + 16)}} = 8,78 \text{ L}$$

**Q39**

Couple  $\text{HO}^-/\text{CN}^-$  :  $pK_A \approx 3,8 = \text{pH de la frontière}$   
Véhicule correspondant

Couple  $\text{HCN}/\text{CN}^-$  :  $pK_A \approx 9,2 = \text{pH de la frontière}$   
Véhicule correspondant.

En effet, sur la frontière,  $[\text{Acide}]_f = [\text{Base}]_f \Rightarrow \text{pH} = pK_A -$

Q40

$$pH = pK_A + \log \frac{[CN^-]}{[HCN]}$$

$$\Rightarrow \text{à } pH = 12 : 12 = 9,2 + \log \frac{[CN^-]}{[HCN]}$$

$$\Rightarrow \frac{[CN^-]}{[HCN]} = 10^{+2,8} \Leftrightarrow [CN^-] = 10^{+2,8} \cdot [HCN]$$

Ainsi,  $HCN$  est bien négligeable, la réaction est quasi totale.

Q41

Travailisons à  $pH = 14$ ,  $E_{fr} \approx -0,95$  V.



$$E_N = E^\circ_{CNO^- / CN^-} + \frac{0,06}{2} \log \frac{[CNO^-][H^+]^2}{[CN^-]}$$

$$\Leftrightarrow E_N = E^\circ_{CNO^- / CN^-} - 0,06 \text{ pH} + 0,03 \log \frac{[CNO^-]}{[CN^-]}$$

Sur la frontière à  $pH = 14$ ,  $[CNO^-]_{fr} = [CN^-]_{fr} \Rightarrow \log \frac{[CNO^-]}{[CN^-]} = 0$

$$\Rightarrow AN: -0,95 = E^\circ_{CNO^- / CN^-} - 0,06 \times 14 \Rightarrow E^\circ_{CNO^- / CN^-} = -0,11 \text{ V}$$

Q42

②  $H_2O$  est un oxydant suffisant pour oxyder  $CN^-$  à  $pH = 12$  (ils ont des domaines disjoints).

b)



$$K = 10^{\frac{2}{0,06} (E^\circ_{H^+/H_2} - E^\circ_{CNO^- / CN^-})} \underset{\approx -0,11 \text{ V}}{=} K \approx 10^{\frac{2}{0,06} (0 + 0,11)}$$

$$\Rightarrow K \approx 10^{+3,7}$$

La réaction sera très avancée, alors soucis cinétiques.

Q43

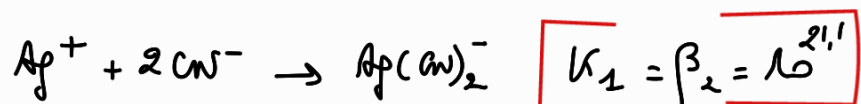
Précautions: À t, verser rapidement une quantité légèrement supérieure à 10 mL dans un bûcher maintenu dans de la glace de la solution étudiée - la réaction est ainsi stoppée par effet de température.  
 Prélever alors les 10 mL à la pipette jaugeé.  
 Les introduire dans le bûcher de dosage lui aussi maintenu dans un bain de glace pendant tout le temps du dosage.

(Q44) L'électrode au calomel saturé est un électrode de référence.

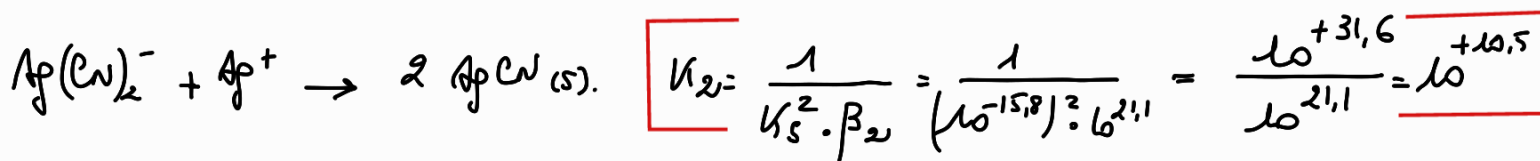
De potentiel fixe, elle permet la lecture d'une différence de potentiel entre l'électrode de mesure (Ag) et cette référence, par le voltmètre.

Q45

1. Réaction de complexation :

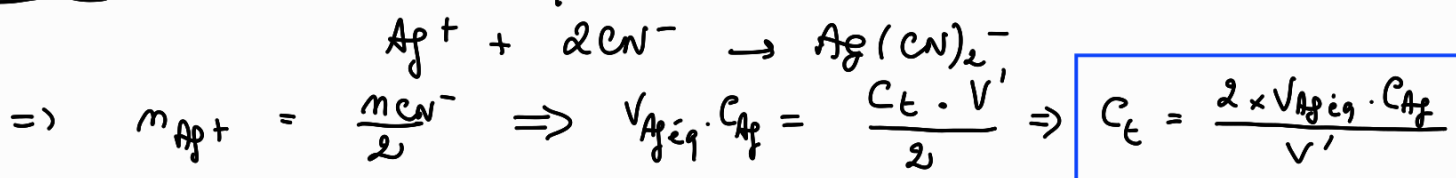


2. Réaction de précipitation :



Ces 2 réactions sont a priori totales, tel qu'il est nécessaire → dosage.

(Q46) a) Relation à l'équivalence pour la (R) de dosage 1 :



$$AN : C_t = \frac{2 \times 4,81 \times 10^{-2}}{10} = 9,62 \cdot 10^{-3} \text{ mol.L}^{-1}$$

$$\text{Incertitude - type } u(C_t) = C_t \sqrt{\left(\frac{u(V_{Ag\text{ éq}})}{V_{Ag\text{ éq}}}\right)^2 + \left(\frac{u(C_{Ag})}{C_{Ag}}\right)^2 + \left(\frac{u(V')}{V'}\right)^2}$$

$$\text{avec } u(V_{\text{tg, eq}}) = \frac{0,01}{\sqrt{3}} \quad u(C_{\text{tg}}) = \frac{10^{-4}}{\sqrt{3}} \quad u(V') = \frac{0,02}{\sqrt{3}}$$

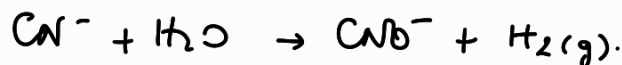
$$\Rightarrow u(C_t) = 9,62 \cdot 10^{-3} \times \sqrt{\frac{10^{-4}}{3 \times (4,81)^2} + \frac{10^{-8}}{3 \times 10^{-4}} + \frac{0,02^2}{3 \times 10^2}}$$

$$\Rightarrow u(C_t) = 5,780 \cdot 10^{-5} \text{ mol.L}^{-1}$$

$$\Rightarrow C_t = (9,62 \pm 0,06) \cdot 10^{-3} \text{ mol.L}^{-1}$$

$$\textcircled{b} \rightarrow \ln C_t = -4,64 \quad \leftrightarrow \quad t \approx 40 \text{ h}$$

**Q47** La réaction dont on étudie la cinétique a été donné en réponse à la Q42 :



$$v = - \frac{d[\text{CN}^-]}{dt} = k_1 [\text{CN}^-]^\alpha \Rightarrow \frac{d[\text{CN}^-]}{[\text{CN}^-]^\alpha} = -k_1 \cdot dt$$

déf  
 ↑  
 propriété  
 fournie  
 par le sujet

$$\text{Si } \alpha = 1 \Rightarrow \frac{d[\text{CN}^-]}{[\text{CN}^-]} = -k_1 \cdot dt \Rightarrow \left[ \ln [\text{CN}^-] \right]_{t=0}^t = -k_1 [t]_0^t$$

intégration  
 entre  $t=0$  et  $t$

$$\Rightarrow \ln [\text{CN}^-]_t = \ln [\text{CN}^-]_0 - k_1 t \quad \text{soit une fonction affine de } t.$$

Le tracé de  $\ln C_t$  est une ligne affine  $\Rightarrow \boxed{\alpha = 1}$

$$\text{pente} = -k_1 \Rightarrow k_1 = 8 \cdot 10^{-4} \text{ h}^{-1} \quad \tilde{=} 50^\circ\text{C}$$

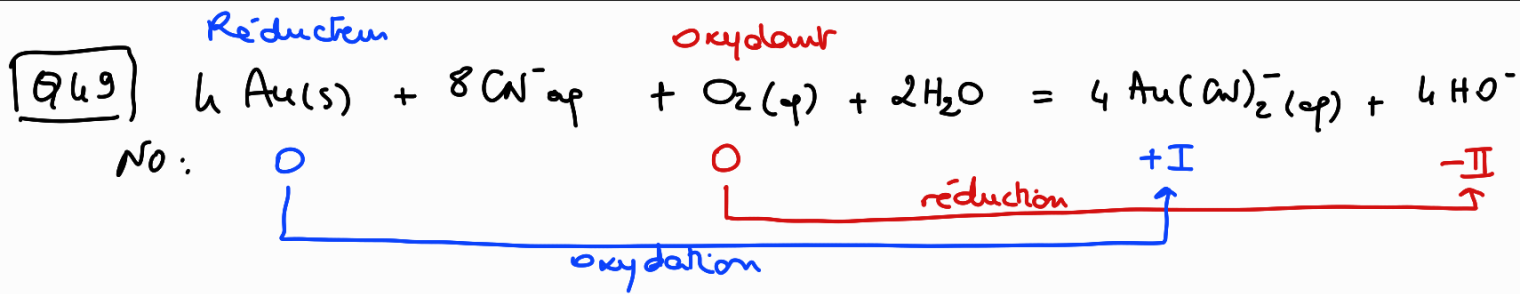
**Q48** Loi d'Arrhenius :  $k_1 = A_1 \exp\left(-\frac{E_a}{RT}\right)$ .

$$\Rightarrow \ln k_1 = \ln A_1 - \frac{E_a}{R} \cdot \frac{1}{T} \Rightarrow \text{Tracé } \ln k_1 = f\left(\frac{1}{T}\right) \text{ en k.}$$

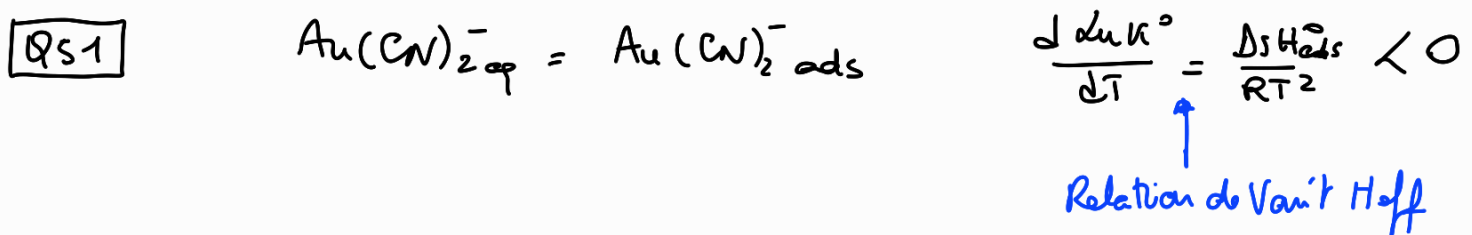
$$\Rightarrow \text{pente} = -\frac{E_a}{R} \Rightarrow E_a = -\text{pente} \times R$$

AN : tracé à la machine : pente = -11985 ( $r^2 = 0,9958$ , et le tracé montre des points aléatoirement répartis).

$\Rightarrow E_a = 99,6 \text{ kJ.mol}^{-1}$  valeur relativement forte cohérente avec la réaction assez lente.



**Q50** Interaction de Van der Waal Dipôle permanent / dipôle induit  $E \in [1-5] \text{ kJ.mol}^{-1}$ .



dans  $K^\circ(T)$  est une fonction décroissante de la température.

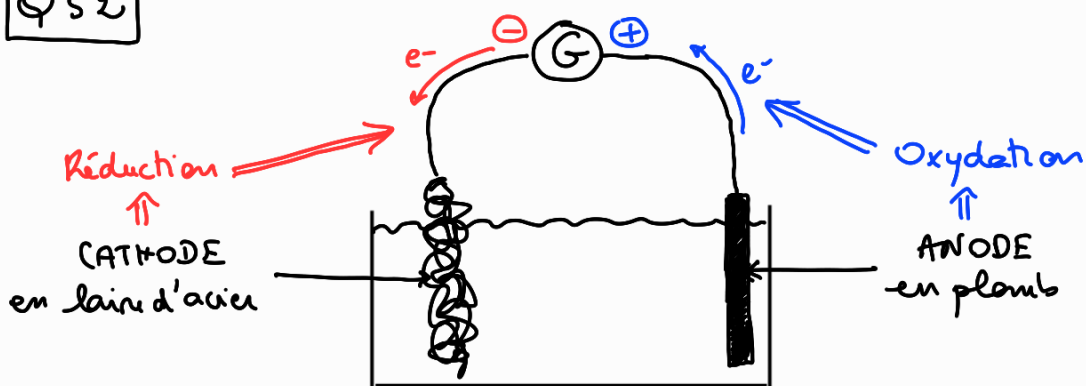
La réaction est donc + exothermique à basse température :

→ partie 1 : adsorption en refroidissant quelques L.

A plus haute température, en présence d'eau chaude pure, le solide relâche le complexe adsorbé →

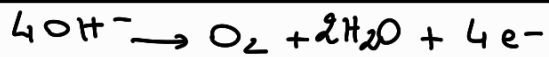
→ partie 2 : on obtient une solution de complexe  $\text{Au(CN)}_2^-$  par relâchage à chaud.

Q52



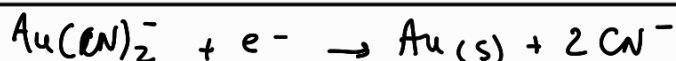
Espèces rédox présentes :  $\text{H}_2\text{O}$ ,  $\text{Na}^+$ ,  $\text{OH}^-$ ,  $\text{Ag}(\text{CN})_2^-$   
milieu basique

Oxydation possible :  
(anode en Pb)



Oxydation du plomb non mentionné dans les données, donc le plomb est supposé inert.

Réduction(s) possible(s) :  
(cathode en acier)



Q53 Evaluation des potentiels semi-p,  $\text{O}_2$  et  $\text{H}_2$  supposés sous 1 bar

Oxydation  $\text{H}_2\text{O} \rightarrow \text{O}_2$  ( $2\text{H}_2\text{O} \rightarrow \text{O}_2 + 4\text{H}^+ + 4\text{e}^-$ )

$$E_N = 1,23 - 0,06 \underset{14}{\text{pH}} = 0,39 \text{ V}$$

$$\eta_{\text{semi-Pb}} = +0,6 \text{ V} \Rightarrow E_S = 0,99 \text{ V.}$$



Réduction  $\text{H}_2\text{O} \rightarrow \text{H}_2$  ( $2\text{H}^+ + 2\text{e}^- \rightarrow \text{H}_2$ )

$$E_N = -0,06 \underset{14}{\text{pH}} = -0,84 \text{ V}$$

$$\eta_{\text{semi-acier}} = -0,4 \text{ V} \Rightarrow E_S = -1,24 \text{ V}$$



Réduction  $\text{Au}(\text{CN})_2^- \rightarrow \text{Au}(s)$  ( $\text{Au}(\text{CN})_2^- + \text{e}^- \rightarrow \text{Au}_{ss} + 2\text{CN}^-$ ).

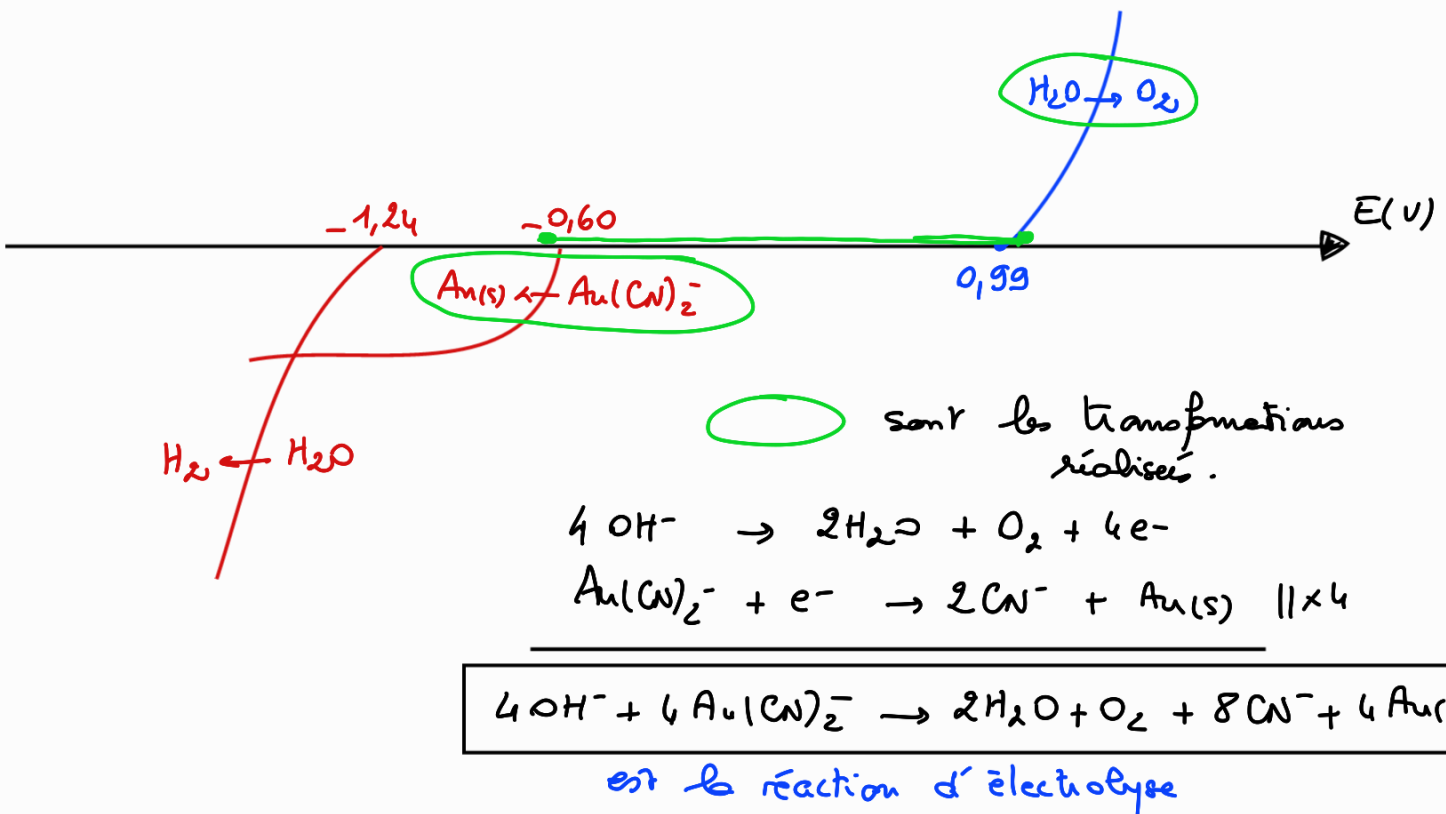
$$E_N = \epsilon^\circ + 0,06 \log \frac{[\text{CN}^-]^2}{[\text{Au}(\text{CN})^-]} \quad \text{Aucune donnée} \Rightarrow \text{terme négligé !}$$



$$\Rightarrow E_N \approx -0,60 \text{ V} \quad \eta = 0 \quad \Rightarrow E_S \approx -0,6 \text{ V}$$

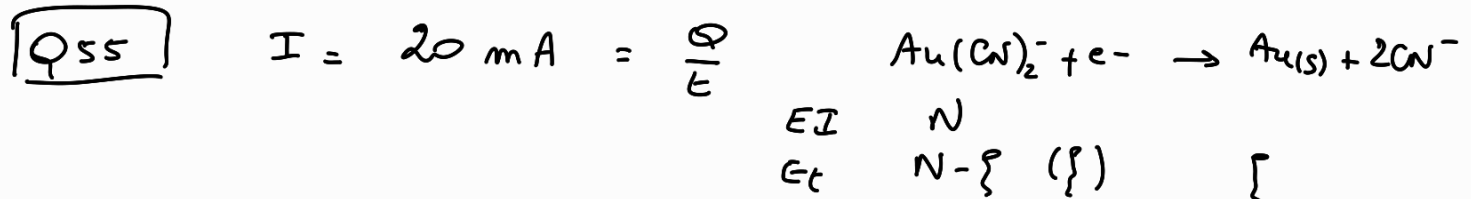
(couple rapide car non mentionné dans les données).

$\Rightarrow$  Allure du diagramme  $I/E$  correspondant :



**Q54** • On augmente la surface d'échange électronique, entre la solution et l'électrode  $\Rightarrow$  le courant de diffusion augmente  $\Rightarrow$  meilleur rendement.

- 1) d'au au oxydable de sorte que l'anode soit consommée.
- $\hookrightarrow$  Le surpotentiel du couple  $\text{O}_2/\text{H}_2\text{O}$  est plus élevé au cuivre qu'en plomb  $\Rightarrow$  dd p nécessaire + élevé  $\Rightarrow$  coût énergétique supérieur au cuivre.



$\Rightarrow$  le dépôt de  $\{$  mol de cuivre provient de la circulation de  $\{$  molles d' $e^-$ .

$$1 \text{g d'or} \leftrightarrow \frac{1}{M_{\text{Au}}} \text{ mol d'or} = \{ \} \leftrightarrow Q = \{ \} \cdot \overline{F} = \frac{\overline{F}}{M_{\text{Au}}} C$$

$$\Rightarrow t = \frac{Q}{I} = \frac{\overline{F}}{M_{\text{Au}} \cdot I} \Rightarrow \boxed{t = \frac{96500}{197 \cdot 20 \cdot 10^{-3}} = 24692 \text{ s}} \\ = 6 \text{ h } 48 \text{ min } 12 \text{ s}$$